Решение уравнения полюсов в задаче распространения электромагнитных волн над земной поверхностью

А. В. Минаков, В. С. Панько, Ю. П. Саломатов¹

Сибирский федеральный университет

¹ysalomatov@sfu-kras.ru

Аннотация. Получены дополнительные к известным решениям уравнения полюсов в задаче распространения электромагнитных волн над земной поверхностью. Приведено выражение в виде степенного ряда, позволяющее находить более точные решения уравнения полюсов в предельных случаях, а также интегрировать дифференциальное уравнение, соответствующее уравнению полюсов методом переразложения рядов. Приведены численные результаты для конкретных примеров.

Ключевые слова: электромагнитные волны; дифракция; сферическая поверхность Земли; функция ослабления; граничные условия; численные методы

I. Введение

Задача дифракции электромагнитной волны вокруг гладкой сферической поверхности Земли решена в работах В. А. Фока, Е. Л. Фейнберга [1, 2]. Для определения поля вертикального излучателя в случае, когда излучатель и наблюдатель находятся на поверхности Земли, решение сводится к вычислению функции ослабления [2, 3]:

$$V(x,q) = \sqrt{i\pi x} \sum_{s=1}^{\infty} \frac{\exp(ixt_s)}{t_s - q^2},$$
 (1)

где
$$x = \sqrt[3]{\frac{k}{2a^2}}\theta a$$
, $q = \frac{i}{\sqrt{\epsilon^0}}\sqrt[3]{\frac{ka}{2}}$, a – радиус Земли, θ –

угловое расстояние на поверхности Земли между излучателем и точкой наблюдения, k – волновое число, ϵ^0 является функцией электрофизических параметров подстилающей поверхности (диэлектрической проницаемости и проводимости). Модуль функции ослабления дает дополнительное (к сферической волне в свободном пространстве) ослабление амплитуды электромагнитного поля за счет дифракции вдоль поверхности земли, а ее фаза — дополнительное запаздывание относительно фазы той же сферической волны.

Параметры t_S , входящие в выражение для функции ослабления (1), являются корнями уравнения мод земной волны [3, 4, 5]:

$$W'(t_s) - qW(t_s) = 0,$$
 (2)

где W(t) — функция Эйри комплексного переменного [6, 7].

В работе [4] уравнение (2), вытекающее из приближенных граничных условий на поверхности

Исследование выполнено в рамках государственного задания СФУ (номер FSRZ-2023-0008).

Земли [8], получило название уравнения полюсов в задаче распространения радиоволн вдоль земной поверхности.

Как известно, уравнение полюсов (2) достаточно просто решается для двух случаев: q=0 (длинные волны, морская поверхность) и $q \rightarrow \infty$ (короткие волны, сухая почва) [2, 3, 4]. В первом случае значения t_S совпадают с корнями производной функции Эйри, а во втором – с корнями самой функции Эйри.

II. Решение уравнения полюсов псевдодальностей

Между тем, могут быть найдены и другие решения уравнения полюсов, лежащие на комплексной плоскости на луче $t_S = te^{i\frac{\pi}{3}}$ (t – действительное число).

Запишем уравнение полюсов (2) в следующем виде:

$$q = \frac{W'\left(te^{i\frac{\pi}{3}}\right)}{W\left(te^{i\frac{\pi}{3}}\right)}.$$
 (3)

Используя соотношения «обхода» для функции Эйри комплексного аргумента [4, 6]:

$$W\left(te^{i\frac{\pi}{3}}\right) = 2\sqrt{\pi}e^{i\frac{\pi}{6}}Ai\left(-t\right),$$

$$W'\left(te^{i\frac{\pi}{3}}\right) = -2\sqrt{\pi}e^{-i\frac{\pi}{6}}A'i\left(-t\right),$$
(4)

где Ai(t) — функция Эйри действительного аргумента (t) [6], получим:

$$q_0 = e^{i\frac{2\pi}{3}} \frac{A'i(-t)}{Ai(-t)}$$
 (5)

Здесь индекс «0» обозначает решения, лежащие именно на луче $t_s = te^{i\frac{\pi}{3}}$. Таким образом, при $\frac{A'i(-t)}{Ai(-t)} > 0$ получаем при заданном |q| множество корней уравнения полюсов (рис. 1) в интервалах $t_s^\infty \le t \le t_s^0$, при этом $0 \le |q| \le \infty$, а $\arg(q) = \frac{2\pi}{3}$. Известные решения t_s^∞ и t_s^0 являются частными случаями полученных решений для q = 0 и $|q| \to \infty$.

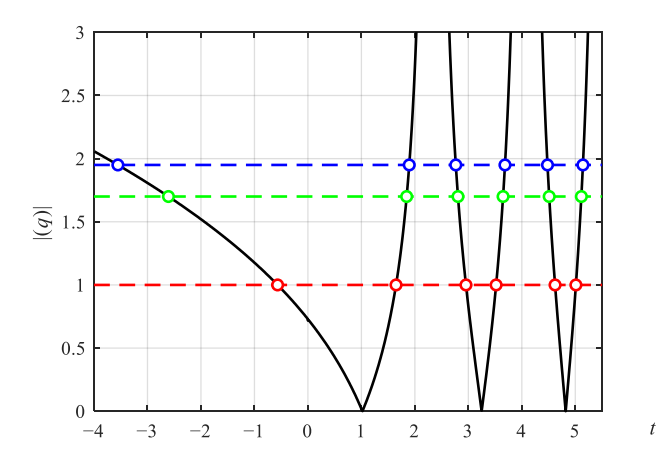


Рис. 1. Решения уравнения полюсов для "емкостной" трассы при |q|= const, $\arg(q)=2\pi/3$

Параметр q (3) для случая слоистого по глубине строения земли связан с так называемым приведенным поверхностным импедансом (δ) [3, 5]. Введение понятия приведенного поверхностного импеданса позволяет при рассмотрении вопросов распространения электромагнитных волн вдоль поверхности земли заменять многослойную среду некоторой эквивалентной однослойной.

Для однослойной земли аргумент поверхностного импеданса всегда отрицателен. В настоящей работе принята зависимость от времени вида $e^{-i\omega t}$, поверхностный импеданс имеет индуктивный характер. Для двухслойной земли, наиболее часто встречающейся на практике, импеданс в зависимости от соотношения параметров слоев (толщин и электрофизических) может быть, как индуктивным, так и емкостным.

Аргумент приведенного поверхностного импеданса δ равен [2]:

$$arg(\delta) = arg(q) - \frac{\pi}{2}$$
.

Из приведенного выражения следует, что полученные решения уравнения полюсов соответствуют емкостному импедансу подстилающей поверхности, который возникает, например, при тонком, хорошо проводящем слое, находящемся над плохо проводящим слоем [3].

При
$$\frac{A'i(-t)}{Ai(-t)}$$
 < 0 также получим множество корней

(при заданном |q|) в интервалах $t_S^0 < t < t_{S+1}^\infty$. Этим корням соответствует значение $\arg \left(q\right) = -\pi/3$. Для физически осуществимых подстилающих поверхностей значение аргумента q лежит в пределах $0 \le \arg(q) \le \pi$ [3], поэтому данные корни могут быть отброшены.

Для определения решений уравнения полюсов при произвольных значениях q обычно переходят к дифференциальному уравнению для значений t_S как функции параметра q. Данное уравнение имеет вид:

$$\frac{dt_s}{dq} = \frac{1}{\left(t_s - q^2\right)}. (6)$$

В качестве начальных условий при интегрировании этого уравнения берутся значения $t_S\left(0\right)=t_S^0$. При помощи замены переменной u=1/q можно получить аналогичное уравнение, при интегрировании которого используются начальное условие $t_S\left(\infty\right)=t_S^\infty$. Для этих двух случаев $t_S\left(0\right)=t_S^0$ и $t_S\left(\infty\right)=t_S^\infty$ в [3] приводятся разложения $t_S(q)$ в ряды Тейлора по степеням q и 1/q, которые сходятся при $|q|<\left|\sqrt{t_S}\right|$ и $|q|>\left|\sqrt{t_S}\right|$ соответственно. При $|q|\approx t_S$ рекомендуется численно решать дифференциальное уравнение, находя t_S .

Между тем, используя полученные выше решения уравнения полюсов (5), можно записать ряд Тейлора для определения $t_S(q)$ в окрестности произвольной точки $q=q_0$ и соответствующего ей значения $t_S^{q_0}$ из (5):

$$t_{S}(q) = \sum_{n=0}^{\infty} C_{n}^{(S)} (q - q_{0})^{n}, \tag{7}$$

$$C_0^{(S)} = t_S^{q_0}, C_1^{(S)} = \frac{1}{t_S^{q_0} - q_0^2},$$

$$C_n^{(S)} = \frac{C_1^{(S)}}{n} \left[2(n-1)q_0 C_{n-1}^{(S)} + (n-2)C_{n-2}^{(S)} - \frac{n}{2} \sum_{m=1}^{n-1} C_m^{(S)} C_{n-m}^{(S)} \right],$$

 q_0 и $t_S^{q_0}$ связаны соотношением (5). Полученный ряд (7) при $q_0=0$ переходит в известный, приведенный в [3], но может, в отличие от него, использоваться в ряде случаев для нахождения значений t_S при $|q|/\sqrt{t_S}\approx 1$. В таблице ниже приведены значения t_S для $\arg(q)=\pi/4$, найденные при помощи численного интегрирования дифференциального уравнения $\left(t_{S_0}\right)$, при помощи полученного ряда $\left(t_{S_1}\right)$, а также при помощи известных рядов $\left(t_{S_2}\right)$ в окрестности |q|=0 (в обоих случаях при расчетах использовано 6 членов ряда).

| q | t_{S_0} | t_{S_1} | t_{S_2} |
|------|--------------|--------------|--------------|
| 1.75 | 1.510+i1.460 | 1.561+i1.476 | 1.392+i1.527 |
| 1.85 | 1.507+i1.503 | 1.570+i1.532 | 1.927+i1.836 |

Из таблицы видно, что значения t_{S_1} ближе к точным значениям t_{S_0} (ошибка во втором—третьем знаках после запятой), чем t_{S_0} (ошибка в первом знаке после запятой).

Ряд (7) для $t_S(q)$ в окрестности $q=q_0$ может быть использован также для численного интегрирования дифференциального уравнения (6) способом переразложения, при этом в качестве начальной точки может выбираться любое из найденных выше решений уравнения полюсов. Это позволяет использовать данный ряд для нахождения решений уравнения полюсов также и в окрестностях так называемых «вырожденных» точек.

Решения дифференциального уравнения для $t_S(q)$ при начальных условиях, полученных в данной работе, всегда будут иметь вид замкнутых кривых, в «центре»

которых в зависимости от |q| будут находиться либо корни t_s^0 , либо t_s^∞ , либо несколько таких корней.

На рис. 2 показаны линии нулей уравнения полюсов, полученные при помощи численного решения дифференциального уравнения (6) (|q| = const, $\arg(q) = \operatorname{var}$).

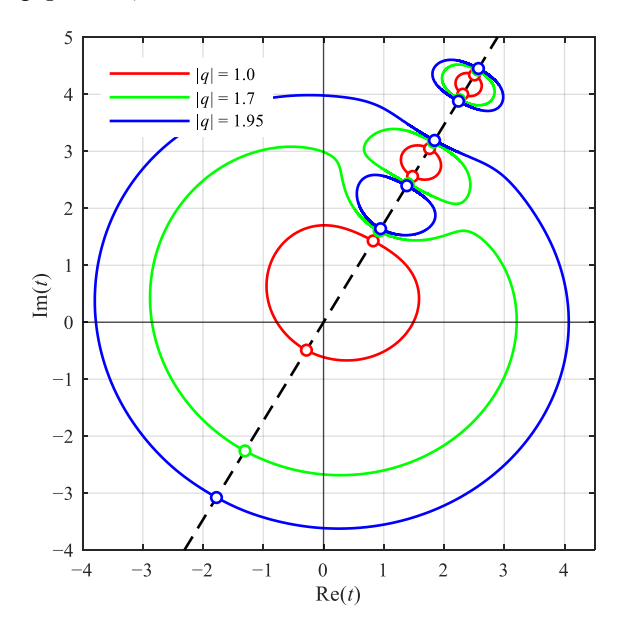


Рис. 2. Линии нулей уравнения полюсов при различных значениях |q|

Начальные условия для нахождения решений определены из выражения (5) при различных |q|. Прямая пунктирная линия на рис. 2 соответствует «емкостной» трассе ($\arg(q)=2\pi/3$), а точки пересечения этой прямой с замкнутыми кривыми соответствуют решениям, полученным из (5), т. е. точкам пересечения кривых на рис. 1 с прямыми |q|= const.

Как отмечалось выше, только часть каждой из этих замкнутых кривых будут соответствовать физически реализуемым однослойной и двухслойной поверхностям Земпи

III. ЗАКЛЮЧЕНИЕ

Таким образом, в данной работе получены дополнительные к известным решениям уравнения полюсов для емкостной трассы в задаче распространения электромагнитной волны вокруг земной поверхности. Также получено выражение для корней уравнения полюсов в виде степенного ряда, позволяющее находить более точные решения уравнения полюсов в предельных случаях, а также интегрировать дифференциальное уравнение, соответствующее уравнению полюсов методом переразложения рядов.

Список литературы

- [1] Фок В.А. Проблемы дифракции и распространения электромагнитных волн. М.: Советское радио, 2011. 520 с.
- [2] Фейнберг Е.Л. Распространение радиоволн вдоль земной поверхности. М.: Наука. Физматлит, 1999. 496 с.
- [3] Распространение электромагнитных волн над земной поверхностью / Г.И. Макаров, В.В. Новиков, С.Т. Рыбачек. М.: Наука, 1991. 196 с.
- [4] Wait J.R. Electromagnetic Waves in Stratified Media. Oxford: Pergamon. 1962, (2nd ed., 1970).
- [5] Справочник по специальным функциям / Под ред. М. Абрамовица, И. Стиган. Пер. с англ. М., Наука, 1979.
- [6] Федорюк М.В. Асимптотика: Интегралы и ряды. М., Наука, 1987.
- [7] Калинин Ю.К. Некоторые вопросы распространения радиоволн над неоднородной сферической поверхностью земли // Труды ИЗМИРАН, вып. 17, 1960.
- [8] D. Hill, J. Wait. HF ground wave propagation over sea ice for a spherical Earth model // IEEE Transactions on Antennas and Propagation, vol. 29, no. 3, pp. 525-527, May 1981, doi: 10.1109/TAP.1981.1142594
- [9] Wait J.R. The ancient and modern history of EM ground-wave propagation // IEEE Antennas and Propagation Magazine, vol. 40, no. 5, pp. 7-24, Oct. 1998, doi: 10.1109/74.735961